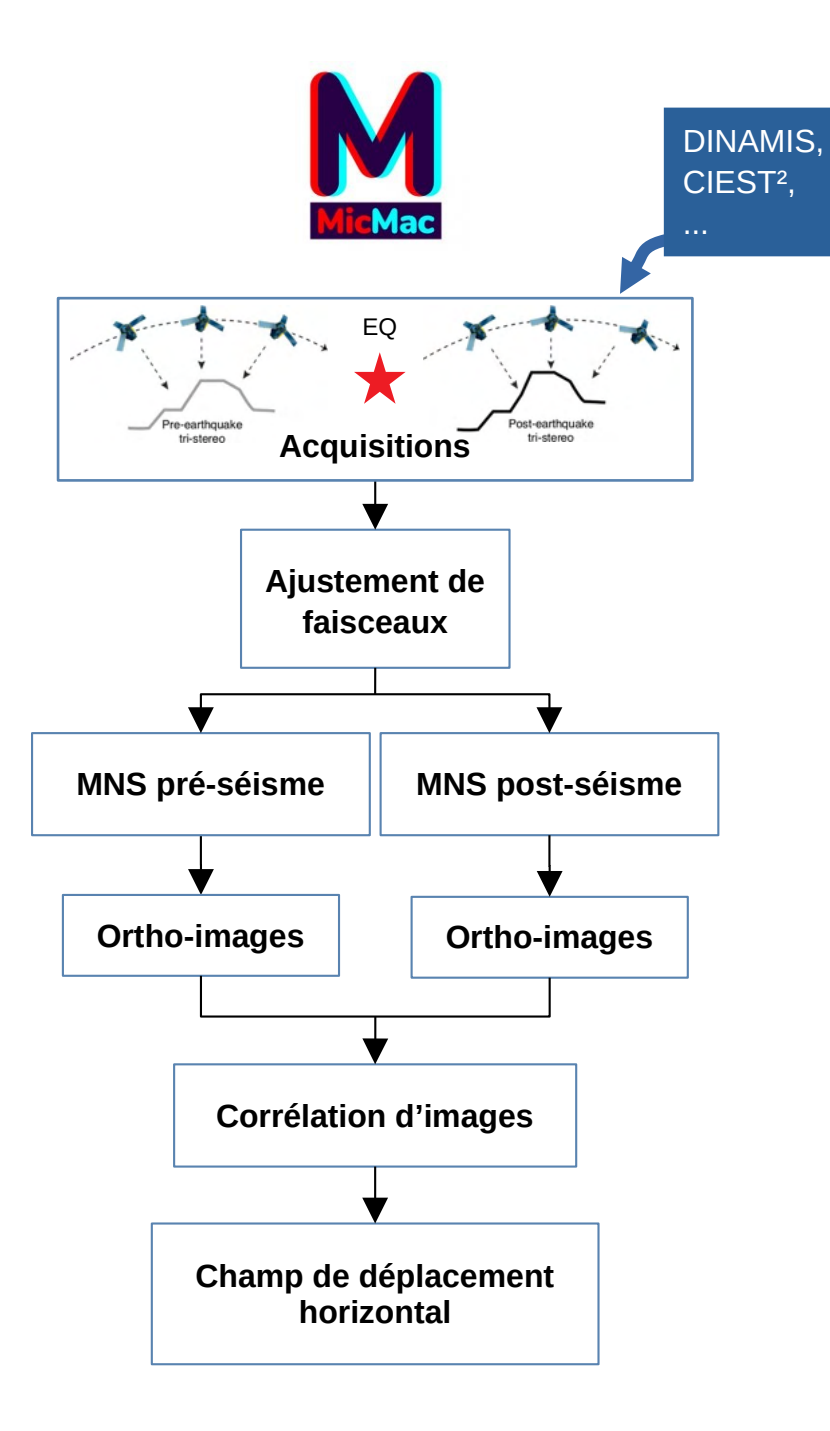
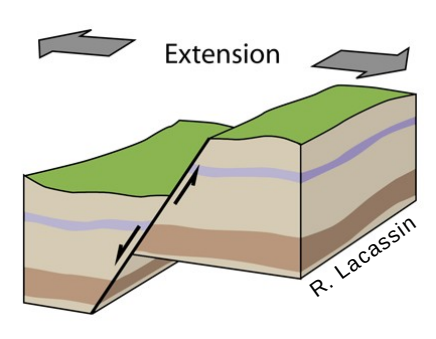
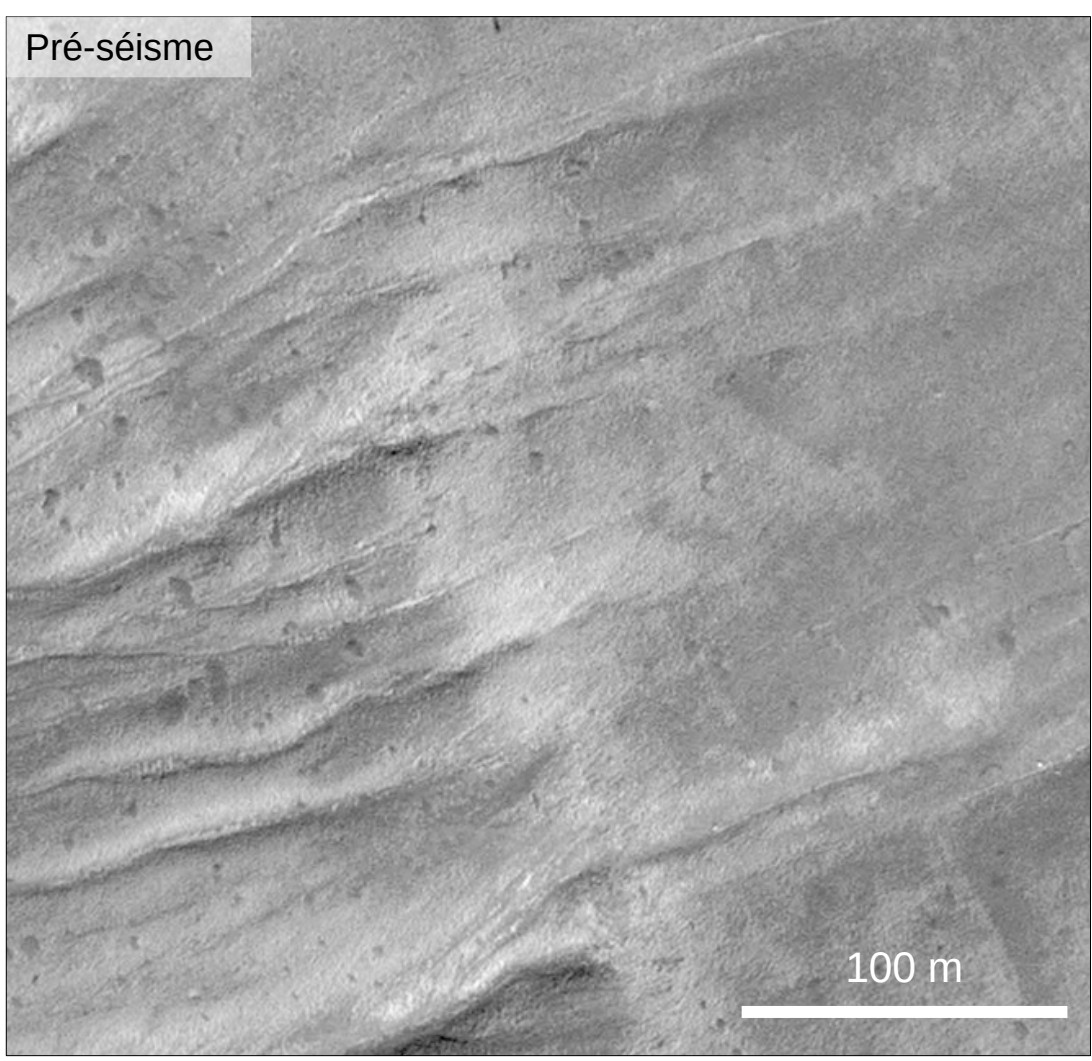
Apport des images optiques dans l'étude des grandes déformations continentales

<u>Arthur Delorme</u>¹, Yann Klinger¹, Raphaël Grandin¹, Lulin Zhang¹, Ewelina Rupnik², Marc Pierrot-Deseilligny², Wenqian Yao^{1,3}, Solène Antoine^{1,4}, Arthur Hauck¹

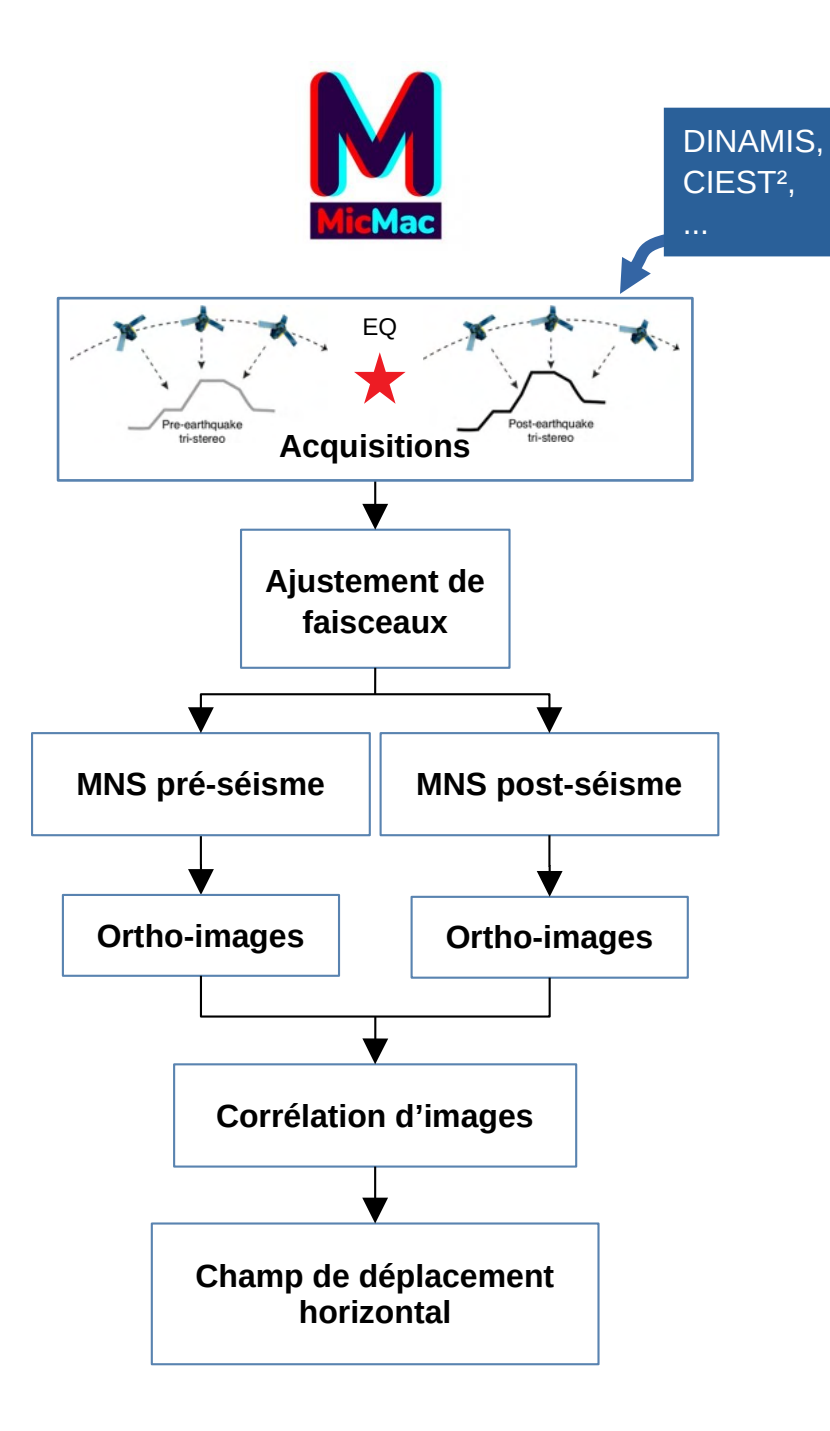
- ¹: Université Paris Cité, Institut de physique du globe de Paris, CNRS, F-75005 Paris, France
- ²: LaSTIG, Univ. Gustave Eiffel, IGN-ENSG
- ³: Institute of Surface-Earth System Science, School of Earth System Science, Tianjin University, Tianjin 300072, China
- ⁴: NASA Jet Propulsion Laboratory, California Institute of Technology, Pasadena, California, USA

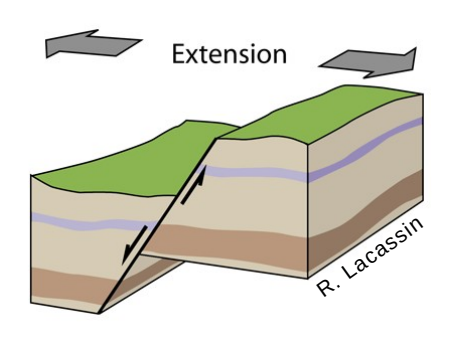


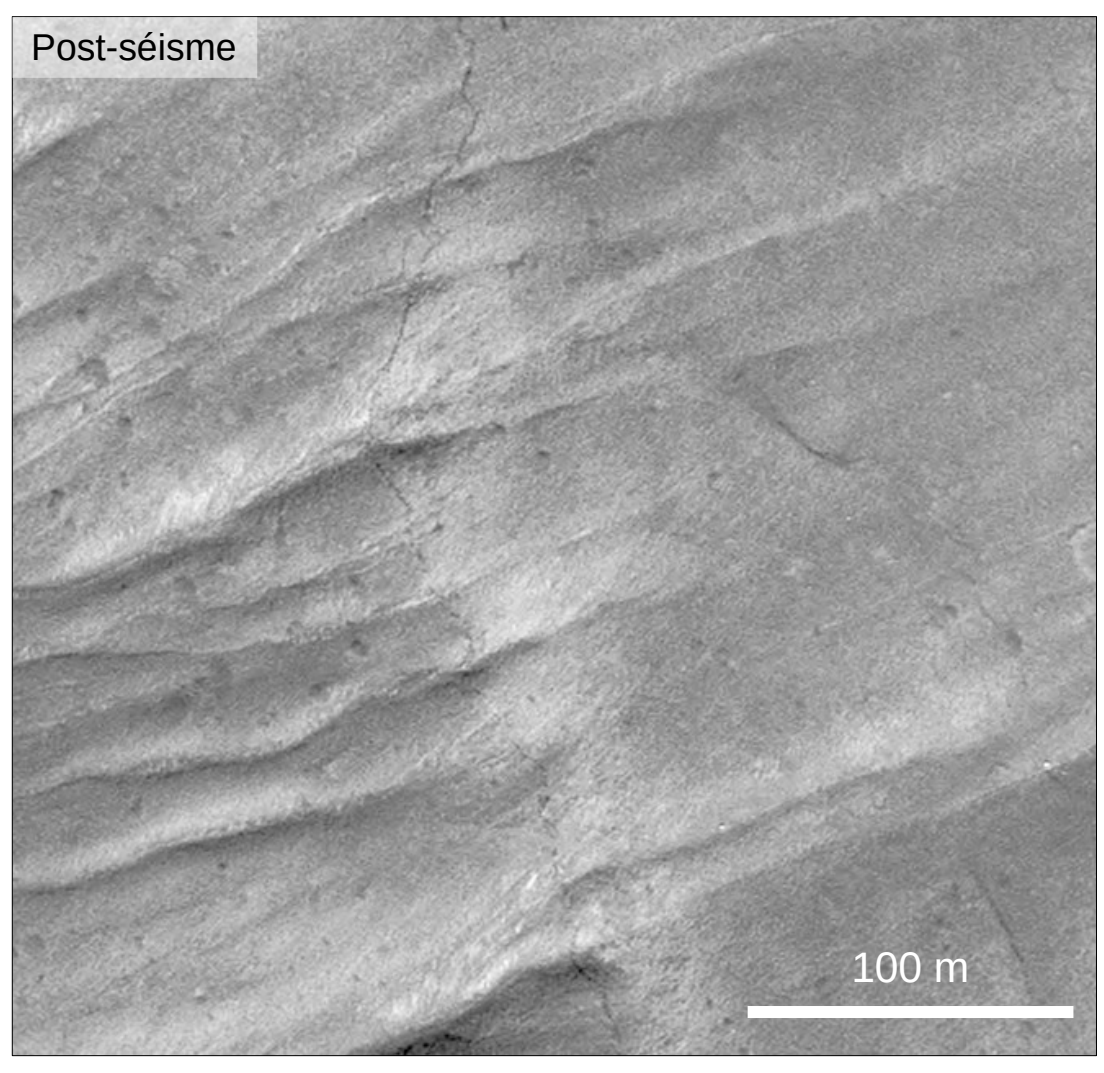




Extrait d'ortho-image Pléiades (séisme de Norcia, Italie, 2016)

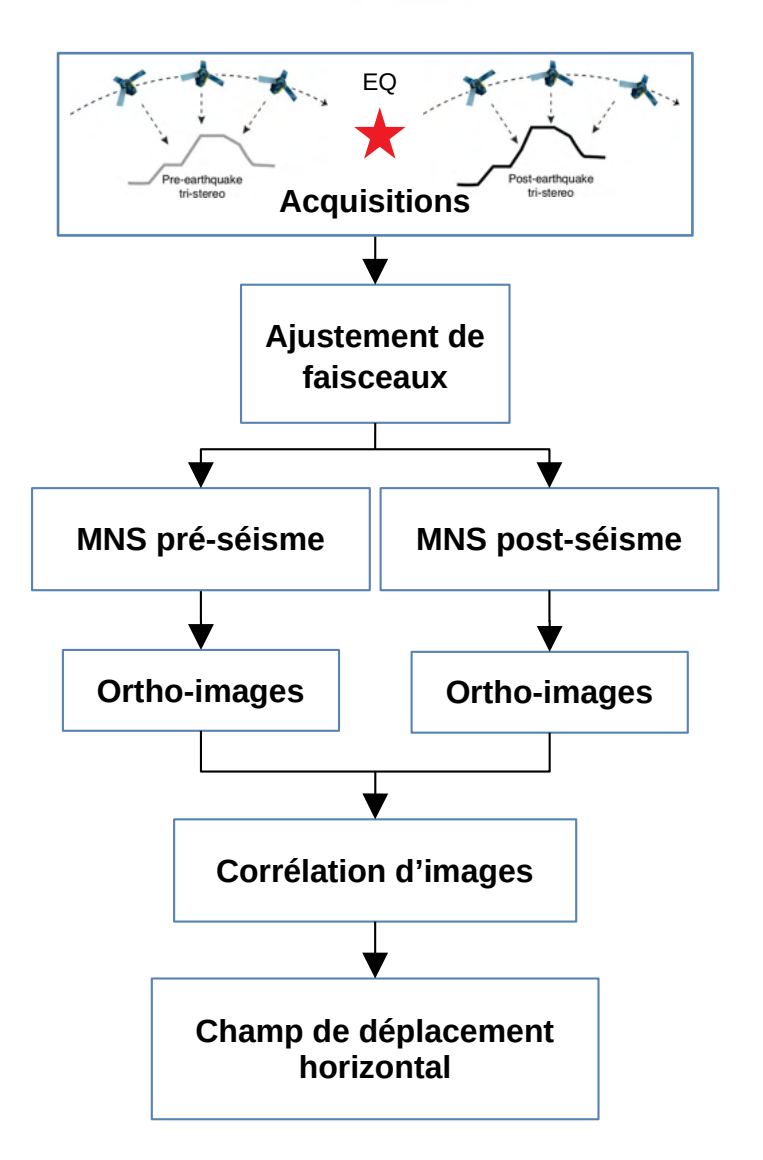


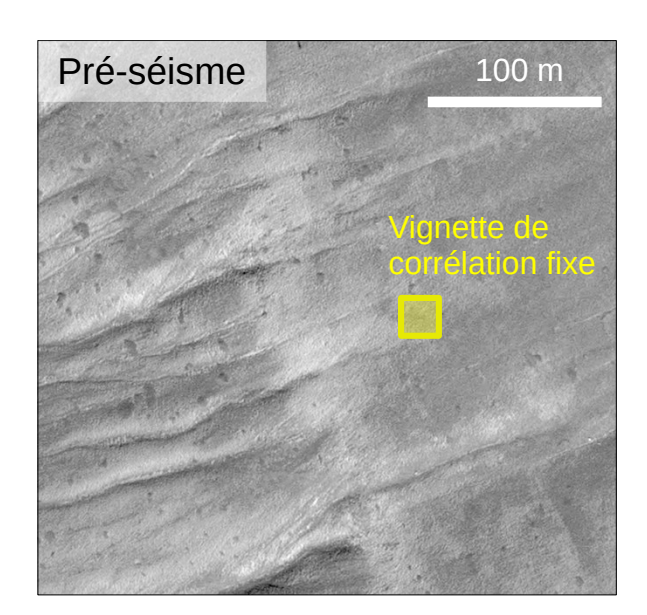


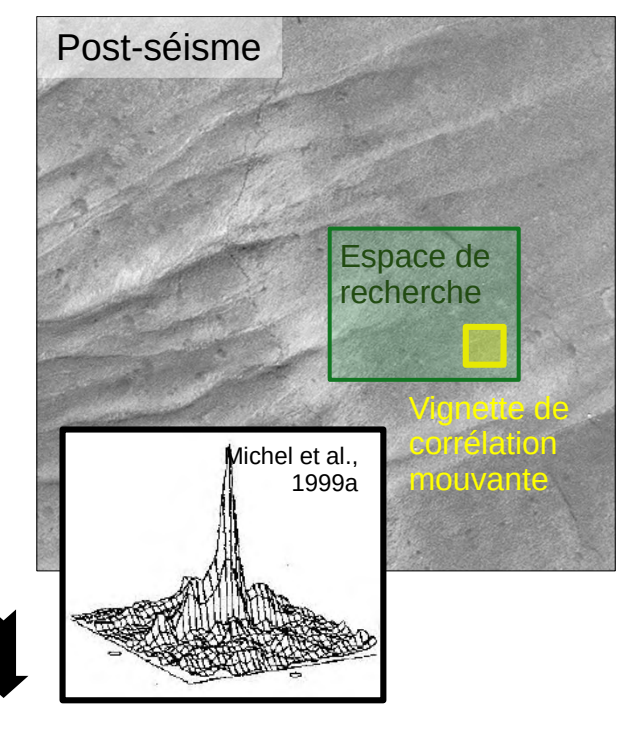


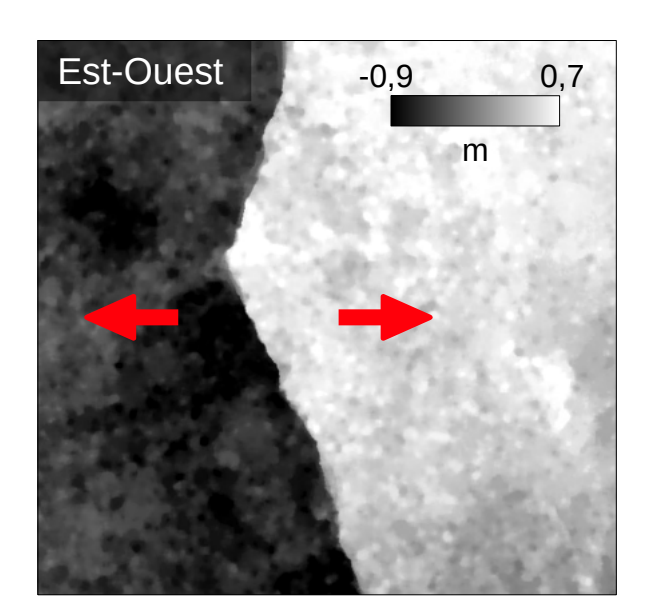
Extrait d'ortho-image Pléiades (séisme de Norcia, Italie, 2016)

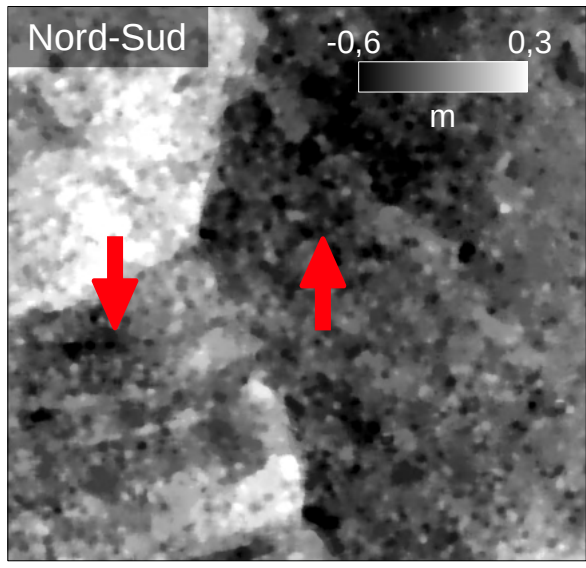








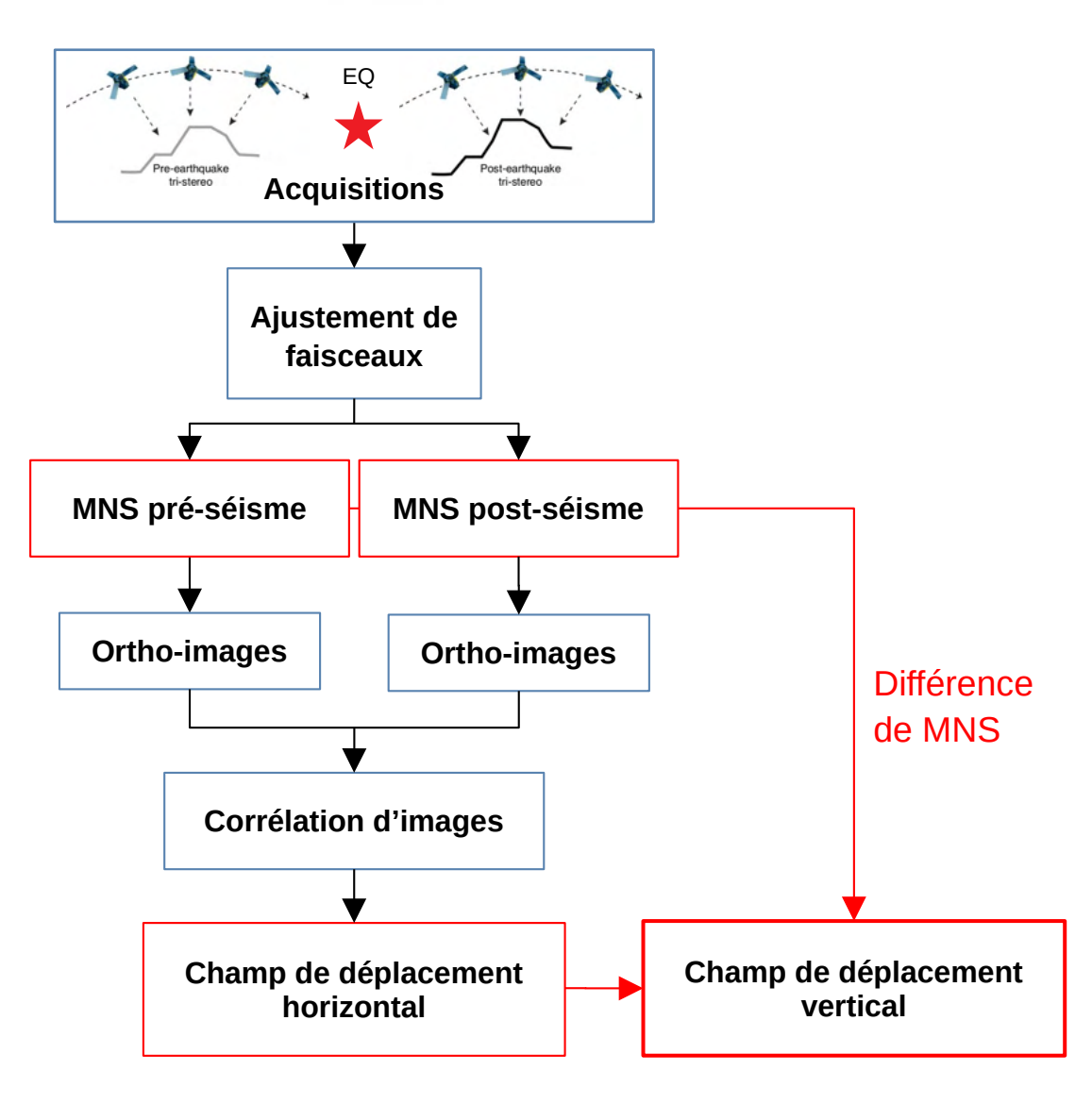


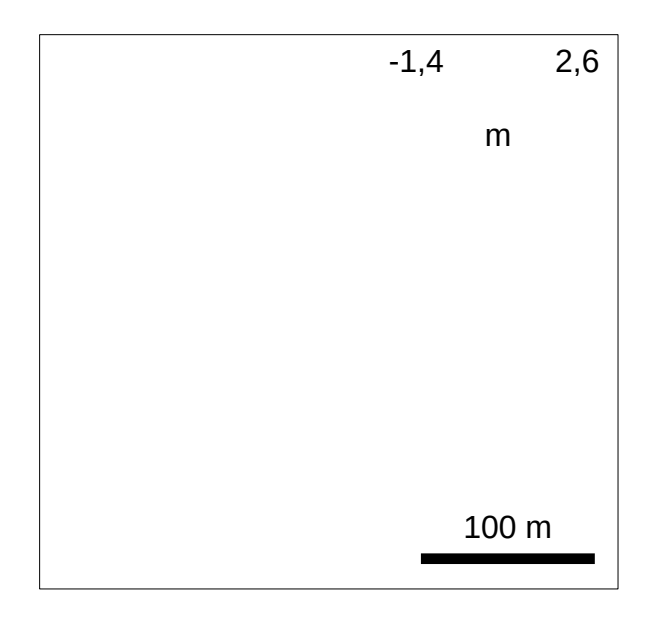


Champ de déplacement cosismique (composantes horizontales)

Seuil de détection : \sim 0,1 px

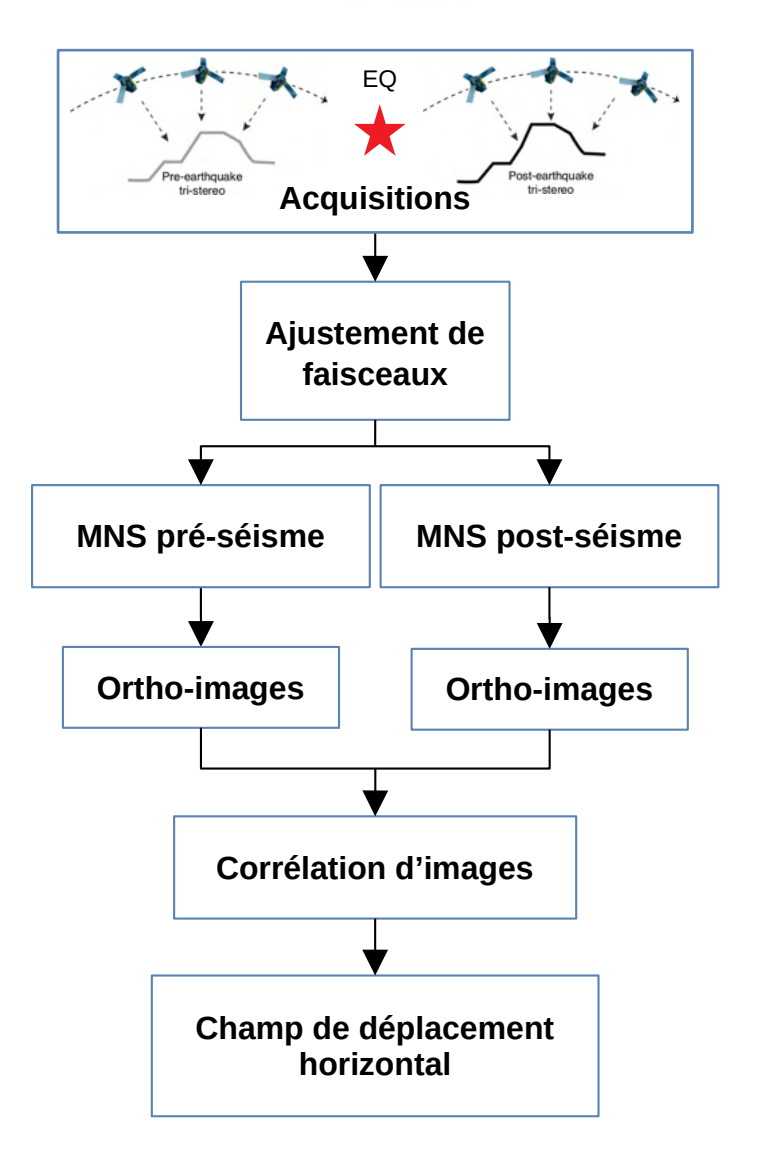




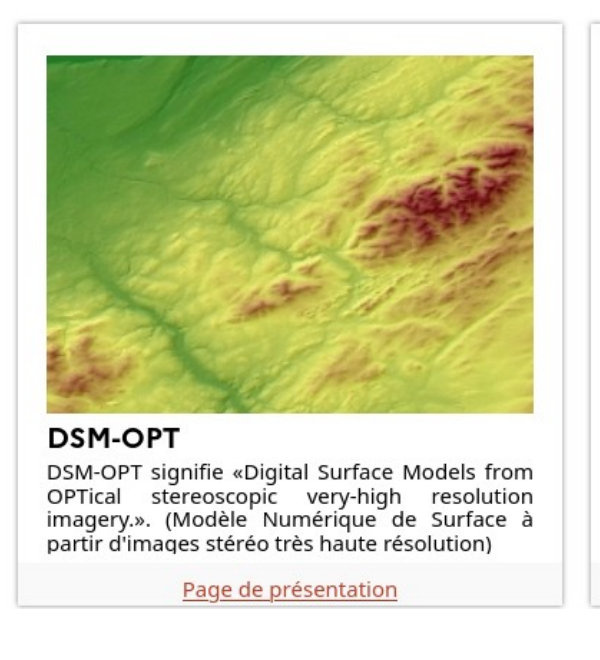


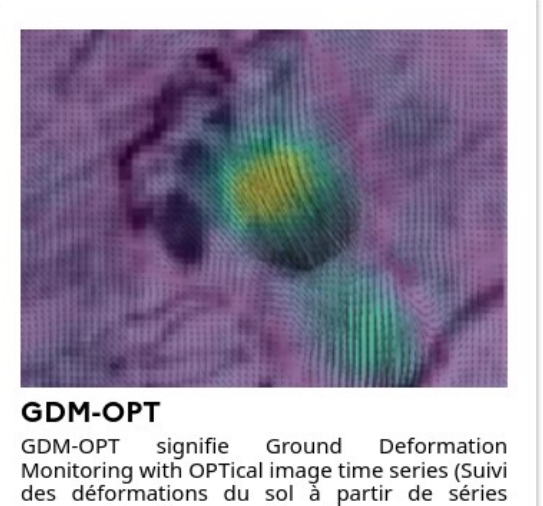
Champ de déplacement cosismique (composante verticale)





MicMac (IGN / IPGP; financements CNES) est un maillon essentiel des services de calcul à la demande de FormaTerre

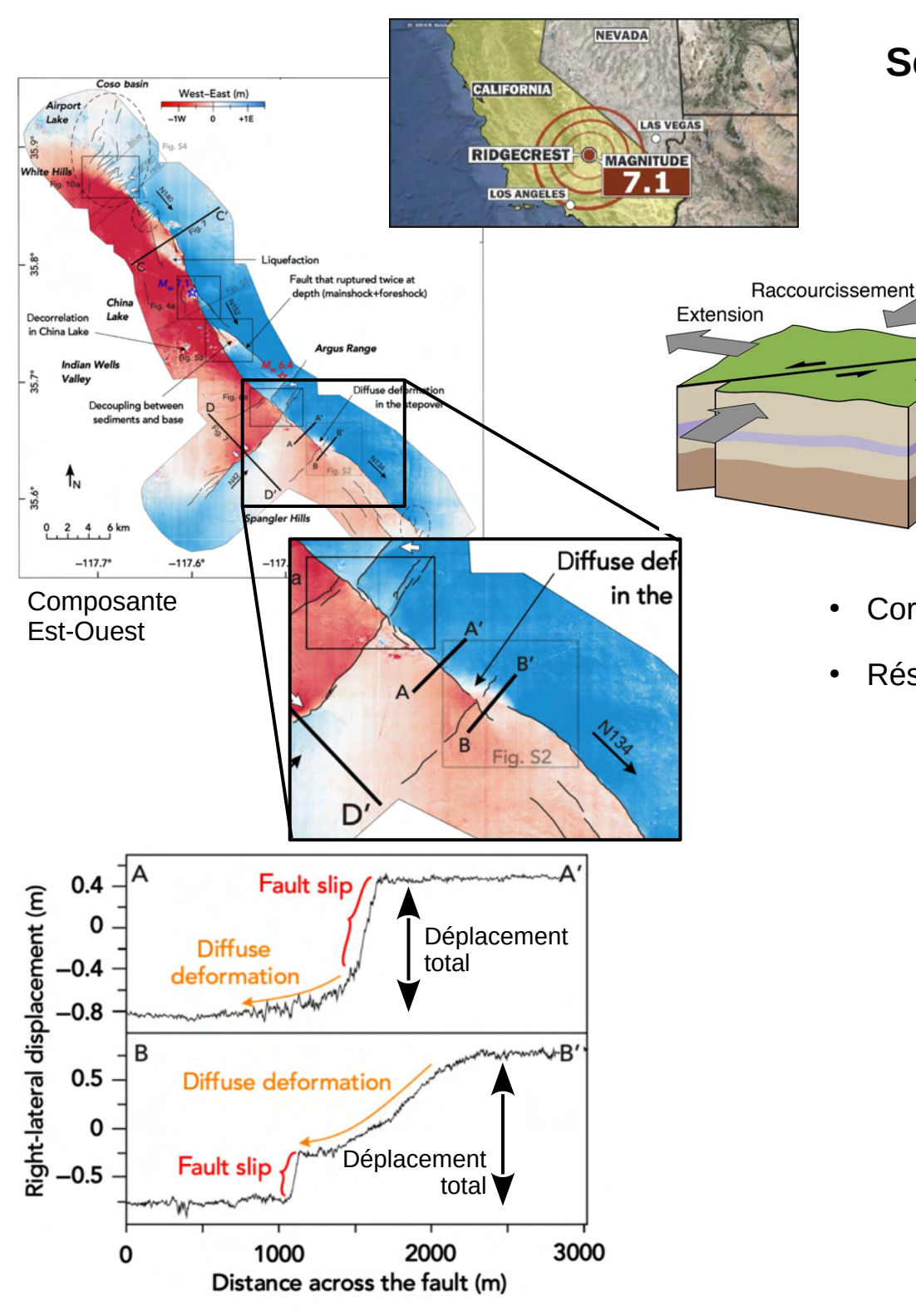




temporelles d'images optiques).



https://www.poleterresolide.fr/services-de-calculs-a-la-demande

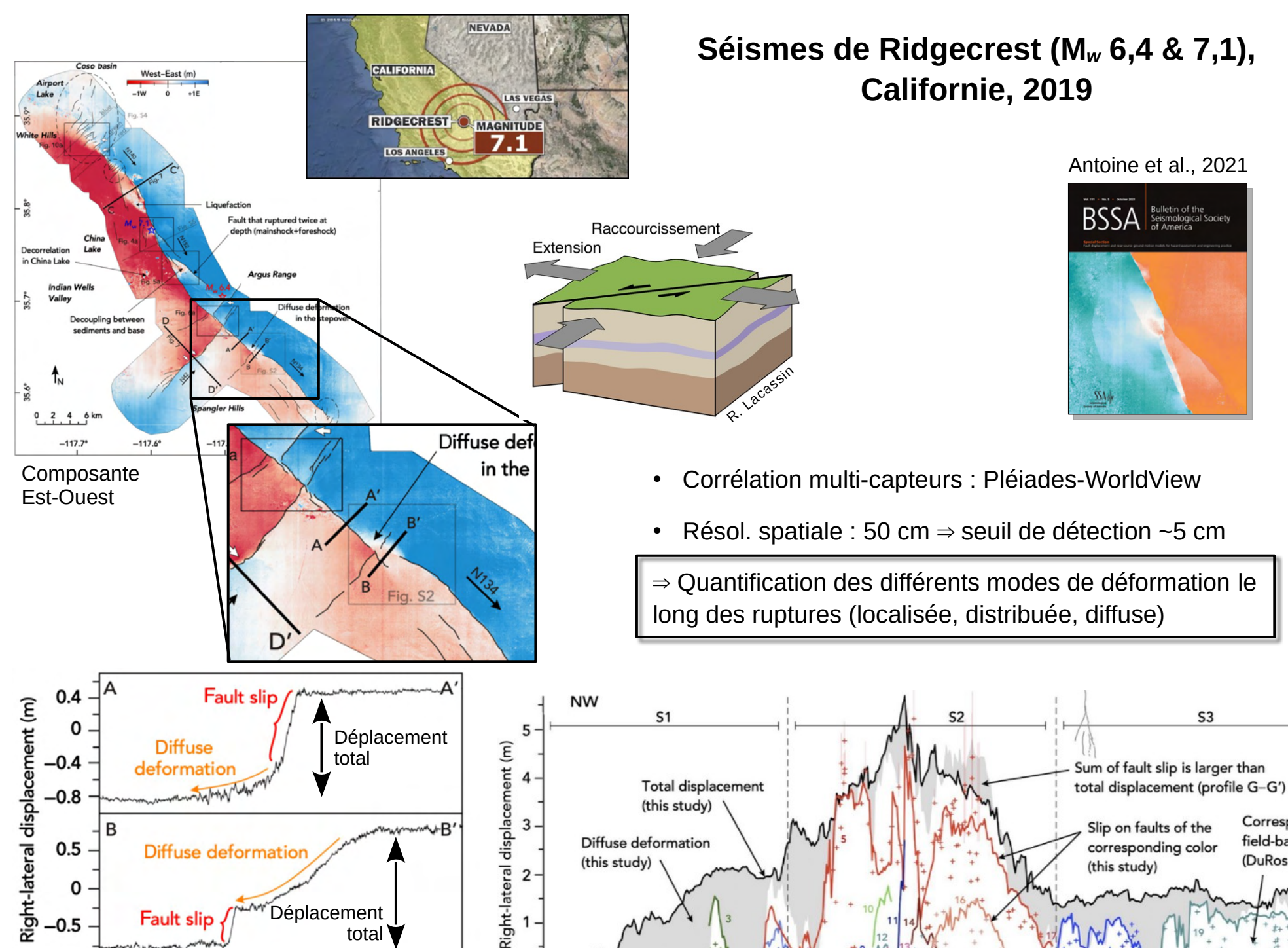


Séismes de Ridgecrest (M_w 6,4 & 7,1), Californie, 2019

Antoine et al., 2021



- Corrélation multi-capteurs : Pléiades-WorldView
- Résol. spatiale : 50 cm ⇒ seuil de détection ~5 cm



Diffuse deformation

-15

-10

(this study)

0.5

Diffuse deformation

1000

Fault slip

Déplacement

2000

Distance across the fault (m)

total

3000

SE

Corresponding

field-based offsets

(DuRoss et al., 2020)

S3

Slip on faults of the

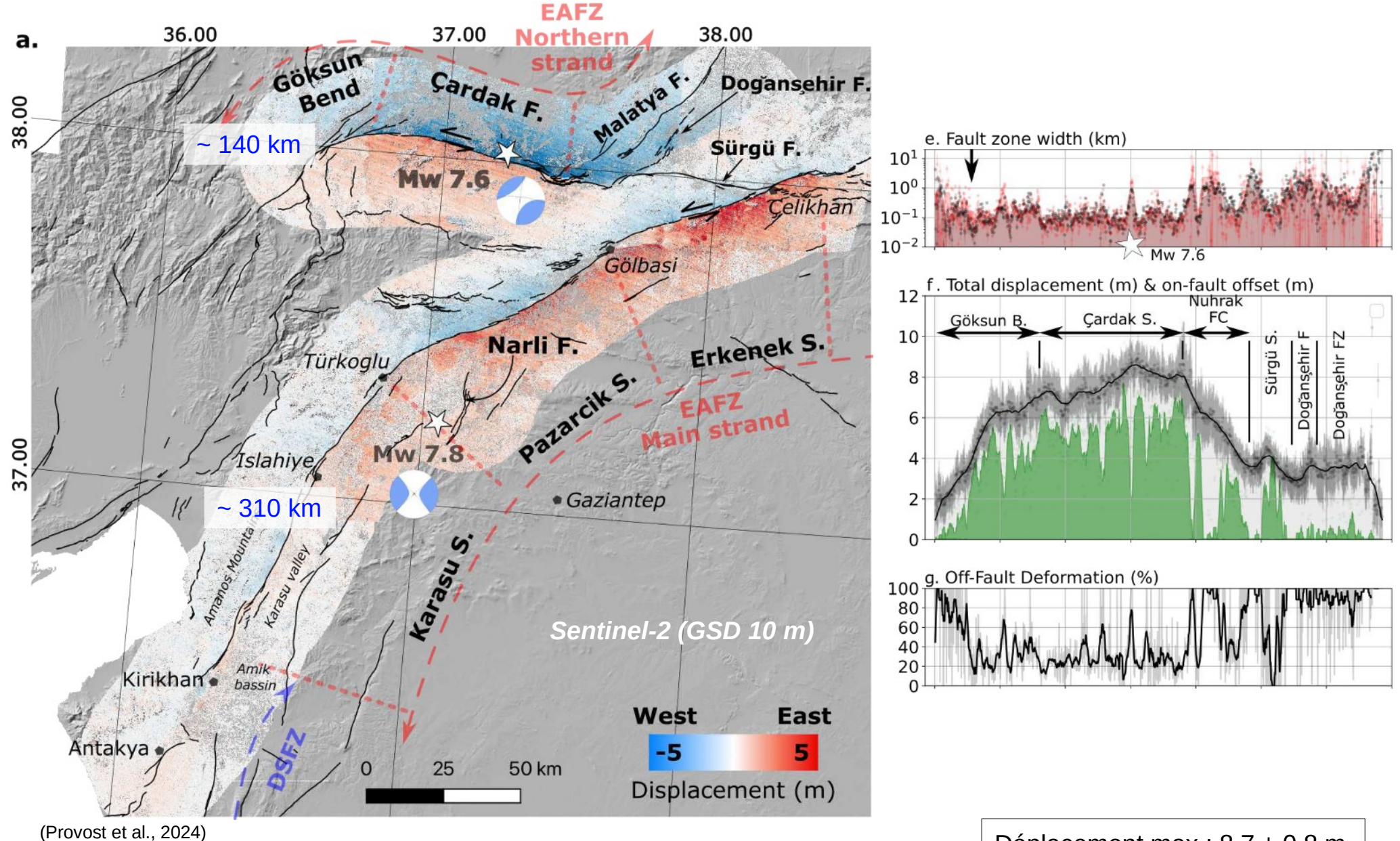
corresponding color

20

(this study)

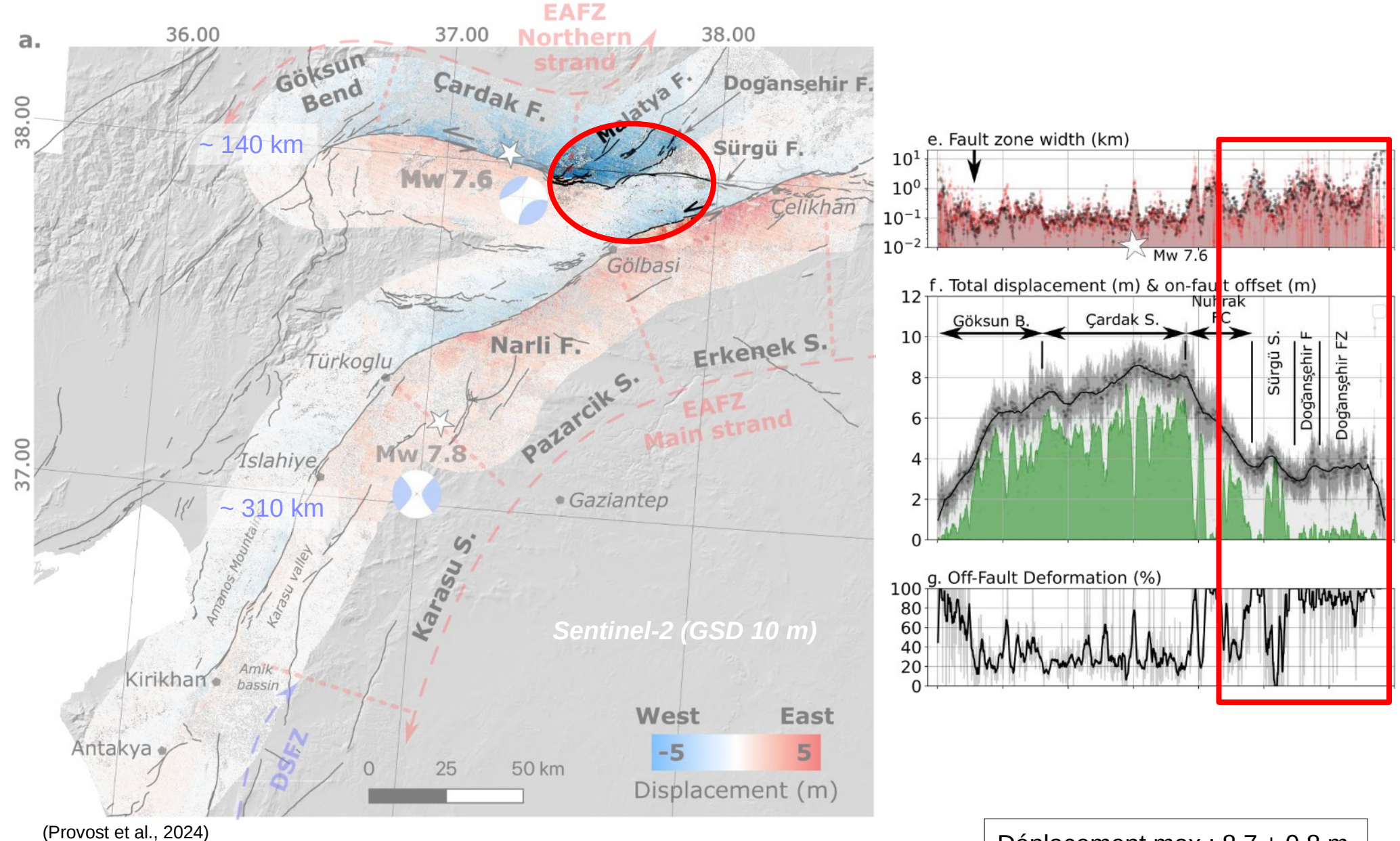
15

Distance from the $M_{\rm w}$ 7.1 epicenter (km)



Déplacement max : 8,7 ± 0,8 m

Déformation distribuée : 47 %

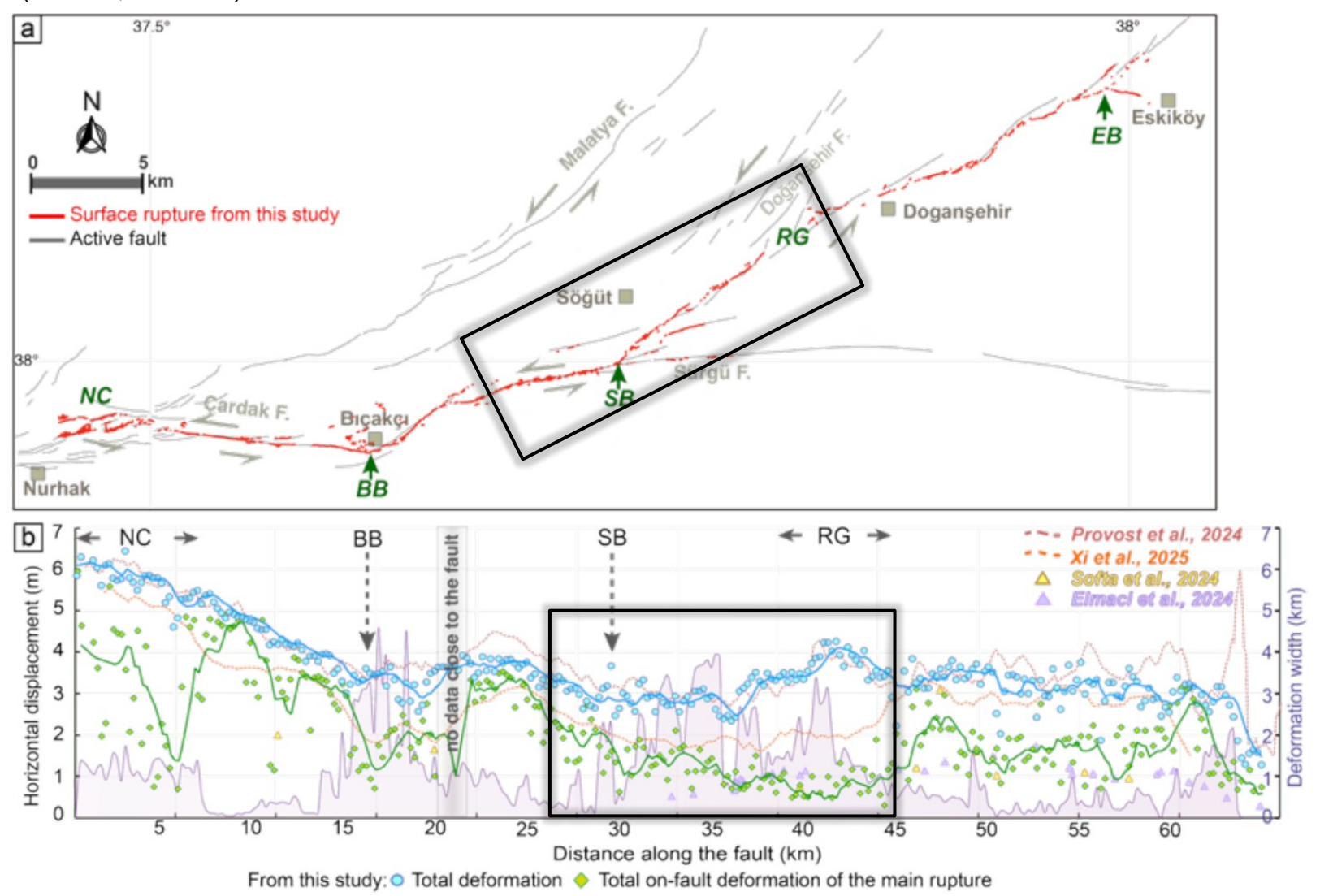


Déplacement max : $8.7 \pm 0.8 \text{ m}$

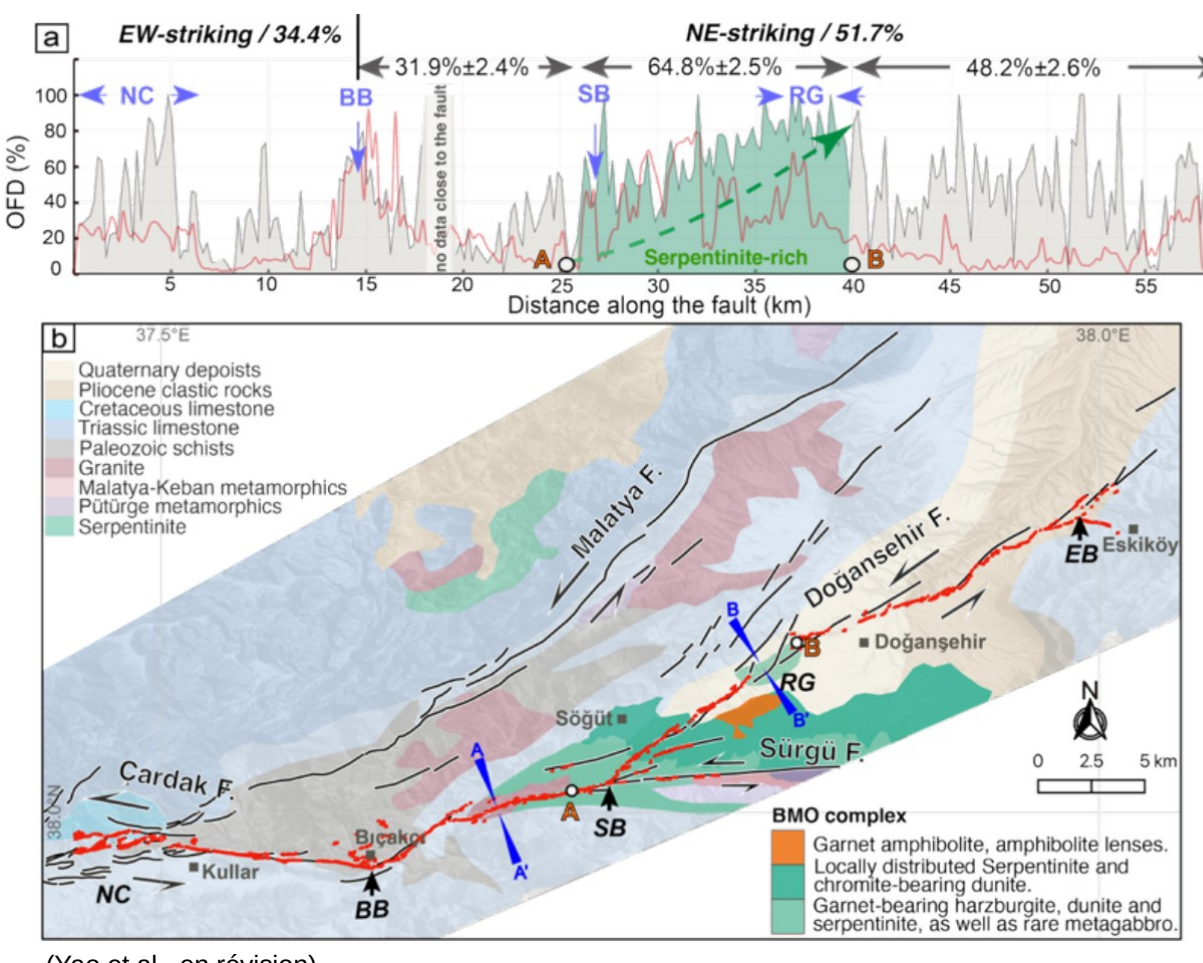
Déformation distribuée : 47 %

• Corrélation Sentinel-2 et corrélation multi-capteurs SPOT-Pléiades

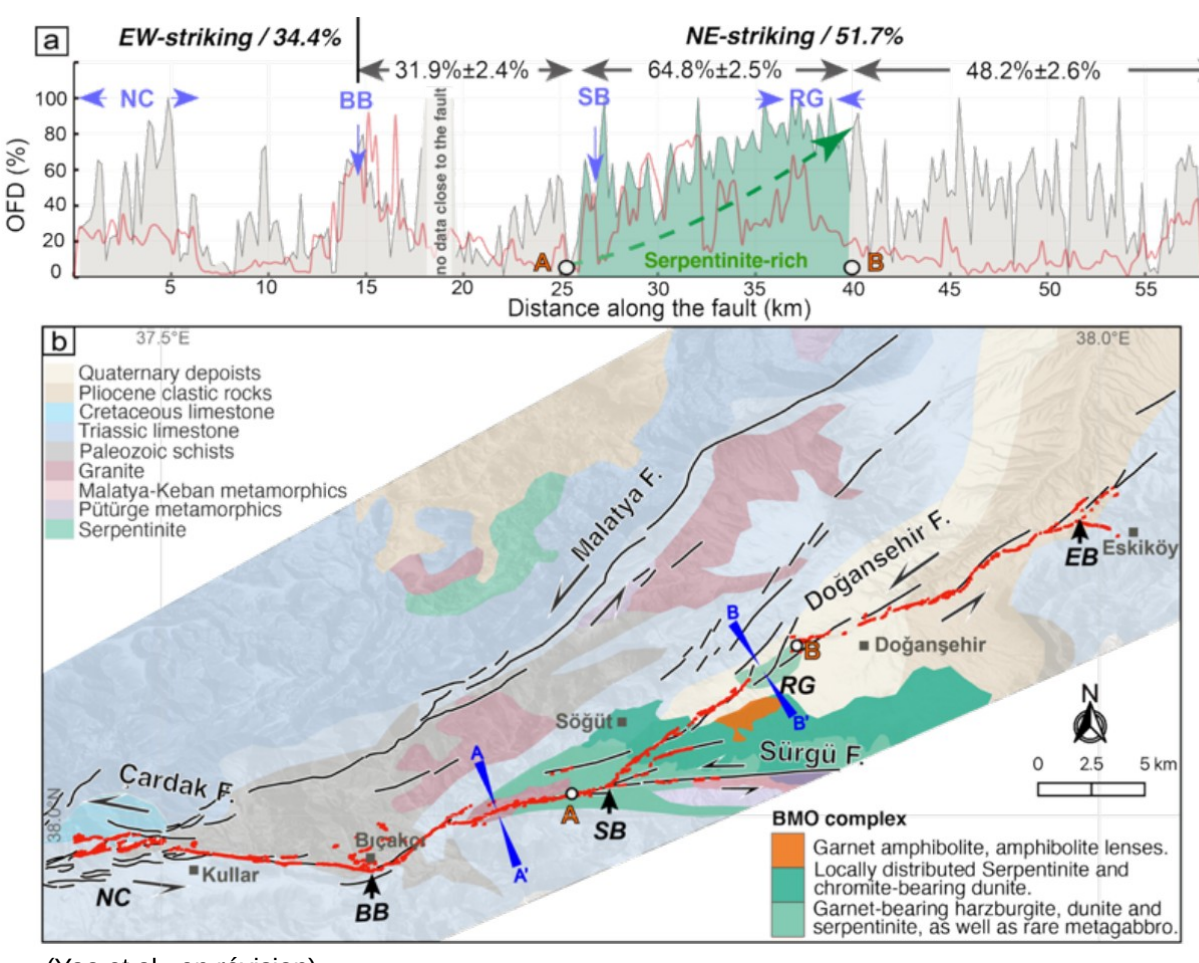
• Résolution spatiale : 1,6 m



- Apport crucial de la THR pour quantifier précisément les différents modes de déformation
- · Déformation distribuée anormalement large



- La faille est-anatolienne se situe le long d'une ancienne suture océanique
- ⇒ Présence de roches riches en serpentine



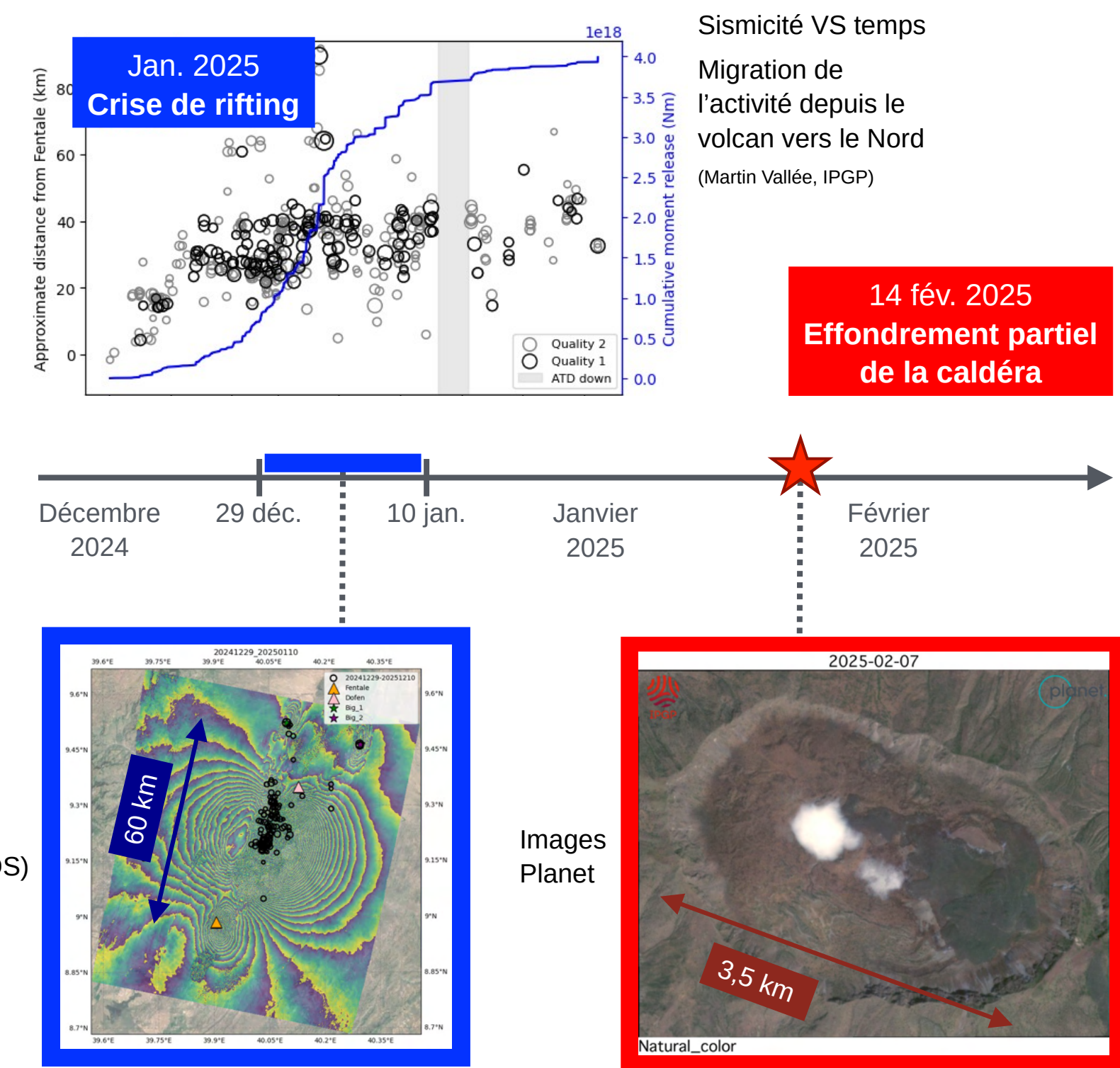
- La faille est-anatolienne se situe le long d'une ancienne suture océanique
- ⇒ Présence de roches riches en serpentine

Granite VS roche riche en serpentine

Le volcan Fentale, Éthiopie, 2025

- Décembre 2024 : début d'une crise de rifting (~3 m d'ouverture sur un segment du rift long de 60 km)
- 14 fév. 2025 : effondrement partiel de la caldéra

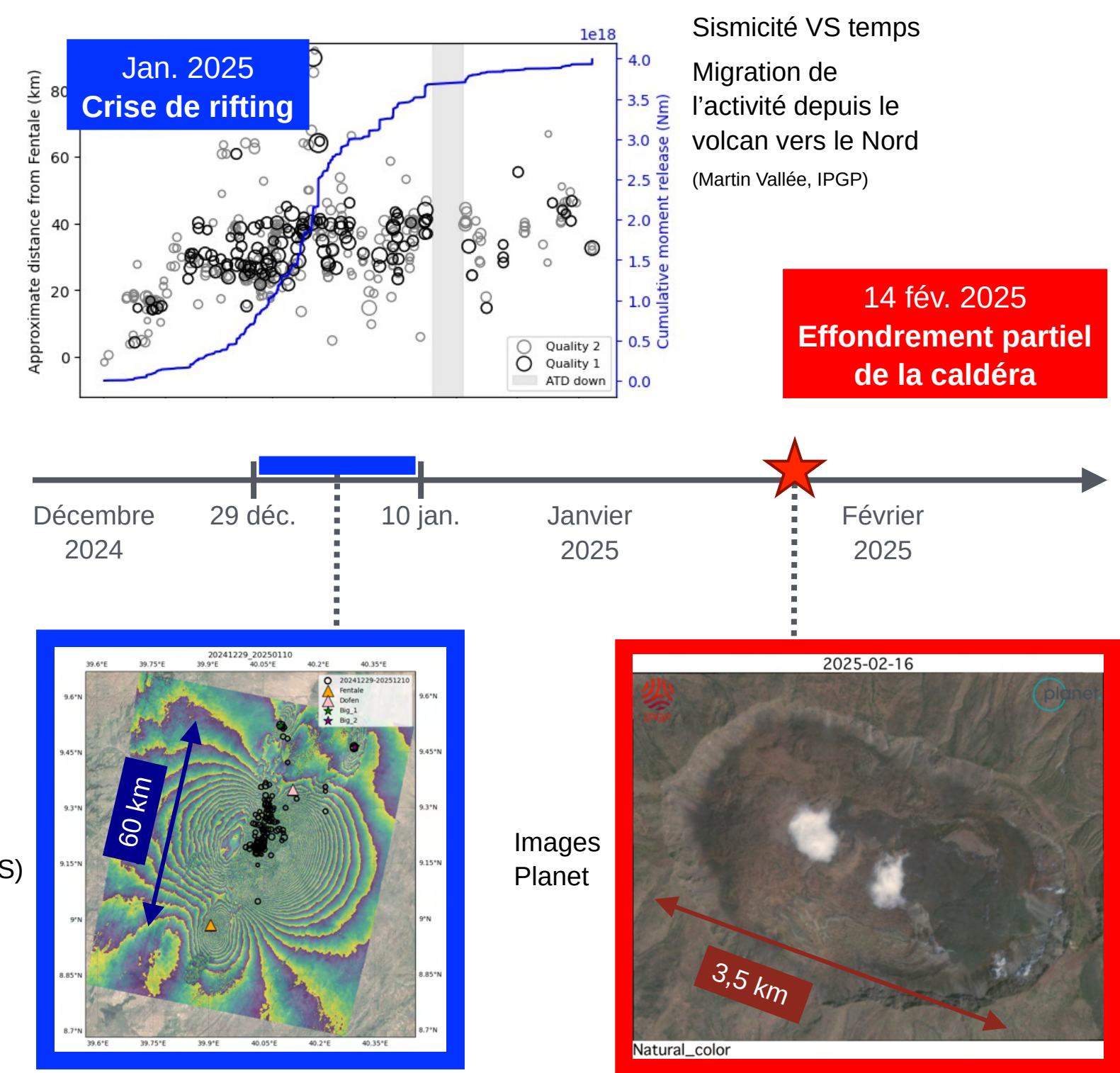
InSAR Sentinel-1 (1 frange = 2,8 cm LOS)



Le volcan Fentale, Éthiopie, 2025

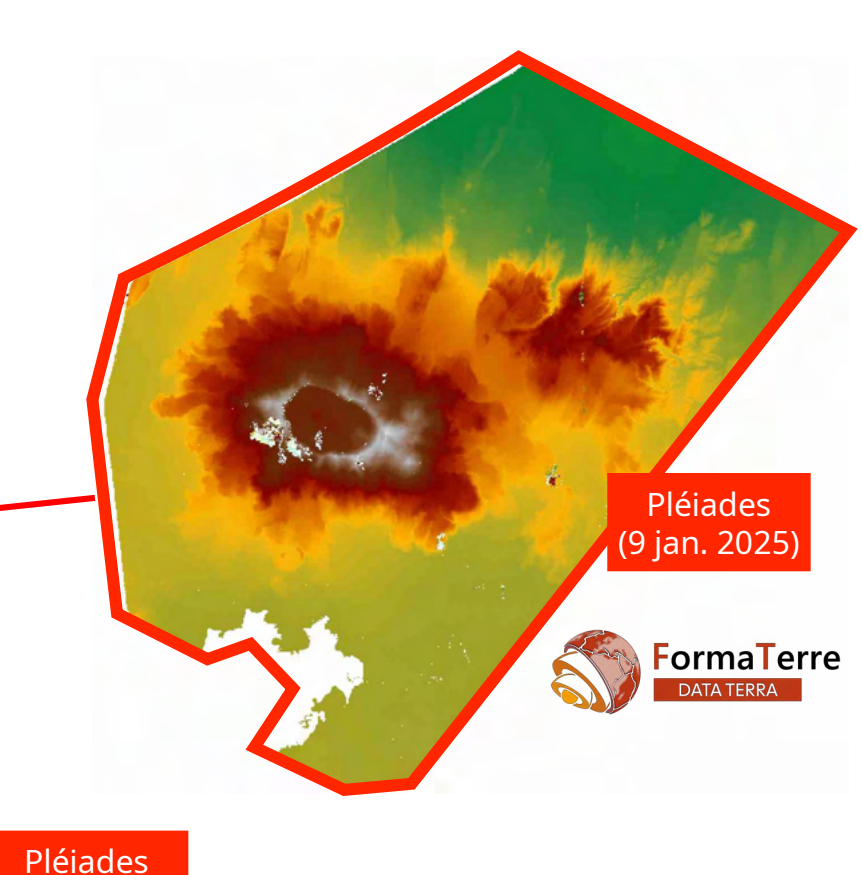
- Décembre 2024 : début d'une crise de rifting (~3 m d'ouverture sur un segment du rift long de 60 km)
- 14 fév. 2025 : effondrement partiel de la caldéra

InSAR Sentinel-1 (1 frange = 2,8 cm LOS)

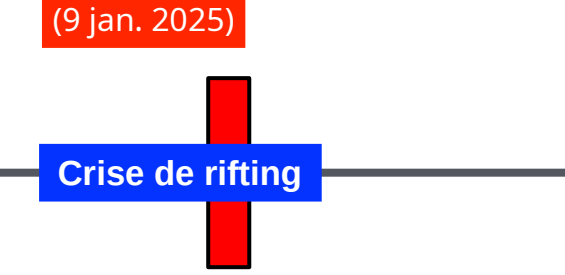


Pléiades (9 jan. 20<u>25</u>)

Le volcan Fentale, Éthiopie, 2025



- Activation de la CIEST² le 8 jan. 2025
- Acquisition Pléiades sans nuages le 9 jan. 2025
- Calcul automatique du MNS par le service DSM-OPT (FormaTerre) le 9 jan. 2025

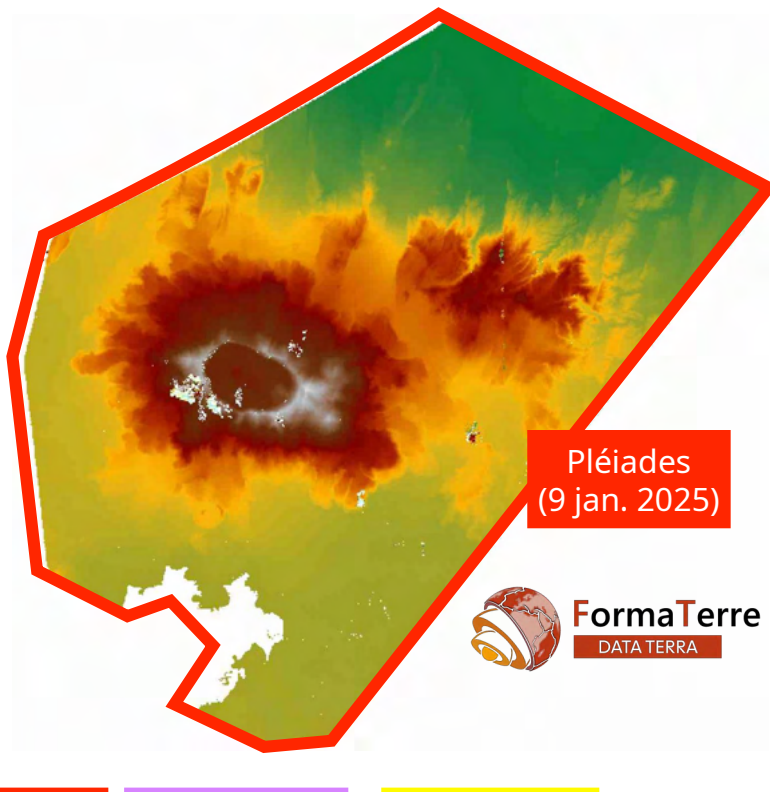


Déformation globale du rift

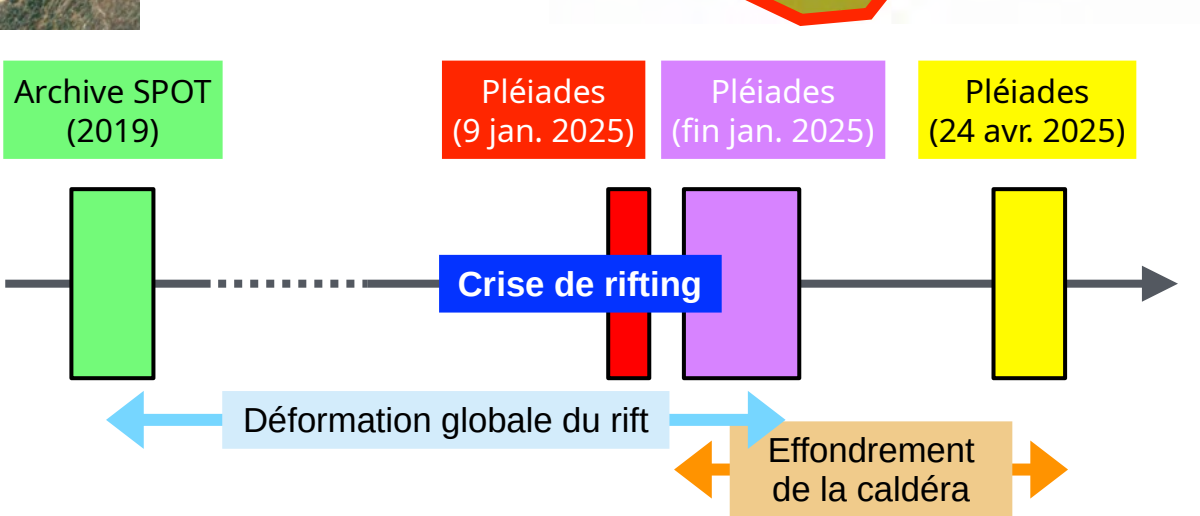


Archive SPOT (2019)Pléiades fin jan. 2025) Pléiades (24 avr. 2025)

Le volcan Fentale, Éthiopie, 2025



- Activation de la CIEST² le 8 jan. 2025
- Acquisition Pléiades sans nuages le 9 jan. 2025
- Calcul automatique du MNS par le service DSM-OPT (FormaTerre) le 9 jan. 2025
- Couverture pré- et post-crise via DINAMIS

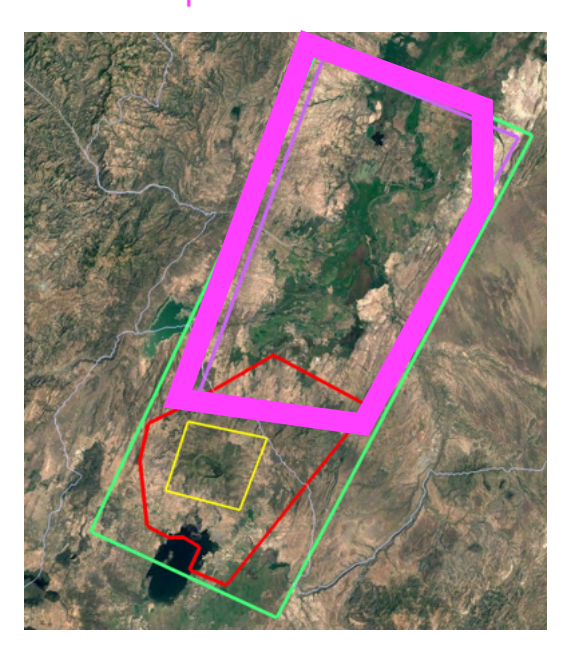


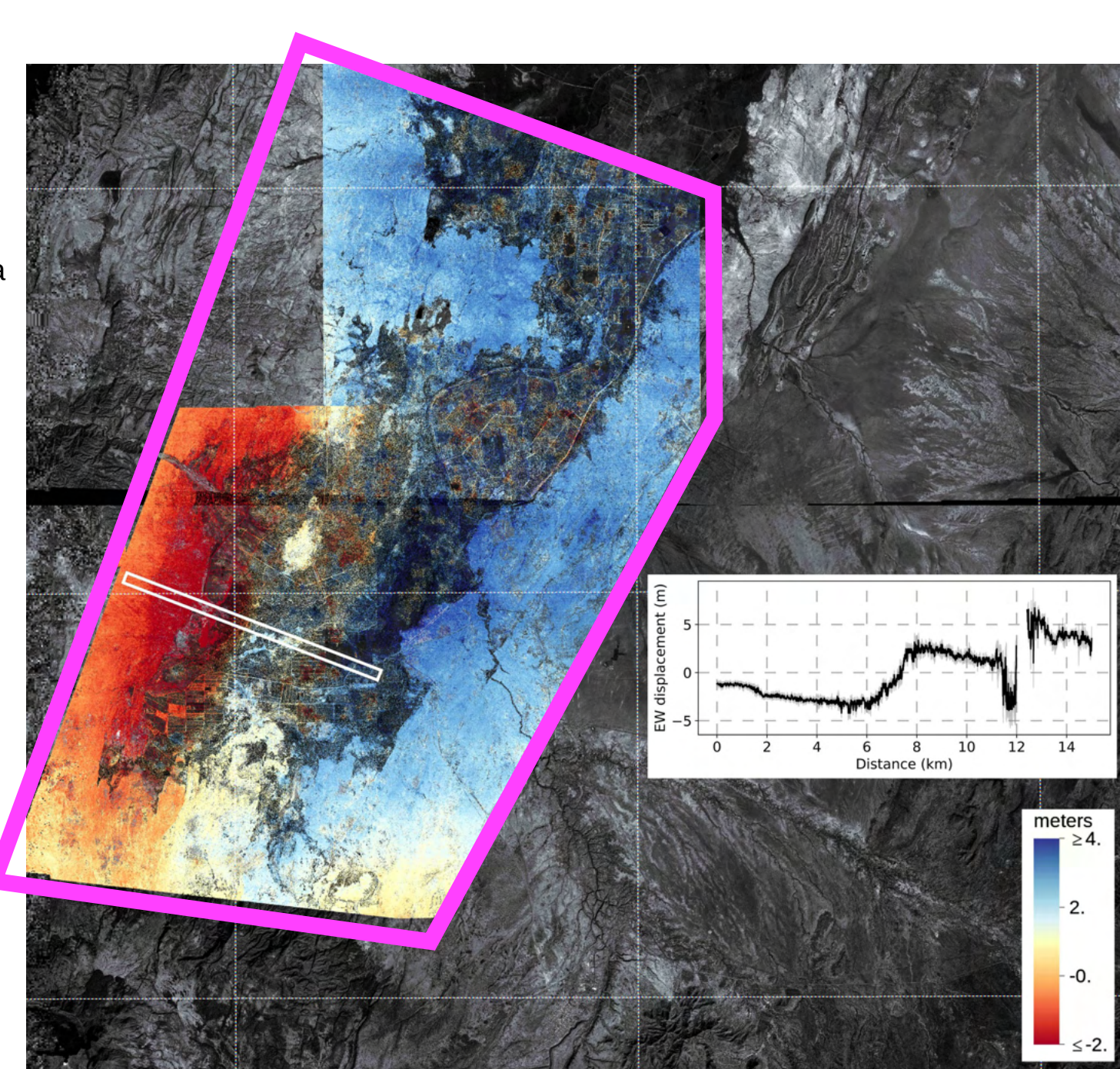
Le volcan Fentale, Éthiopie, 2025

Déformation globale du rift

- Corrélation SPOT-Pléiades
- ~5 m de déplacement horizontal à travers le rift

Emprise commune

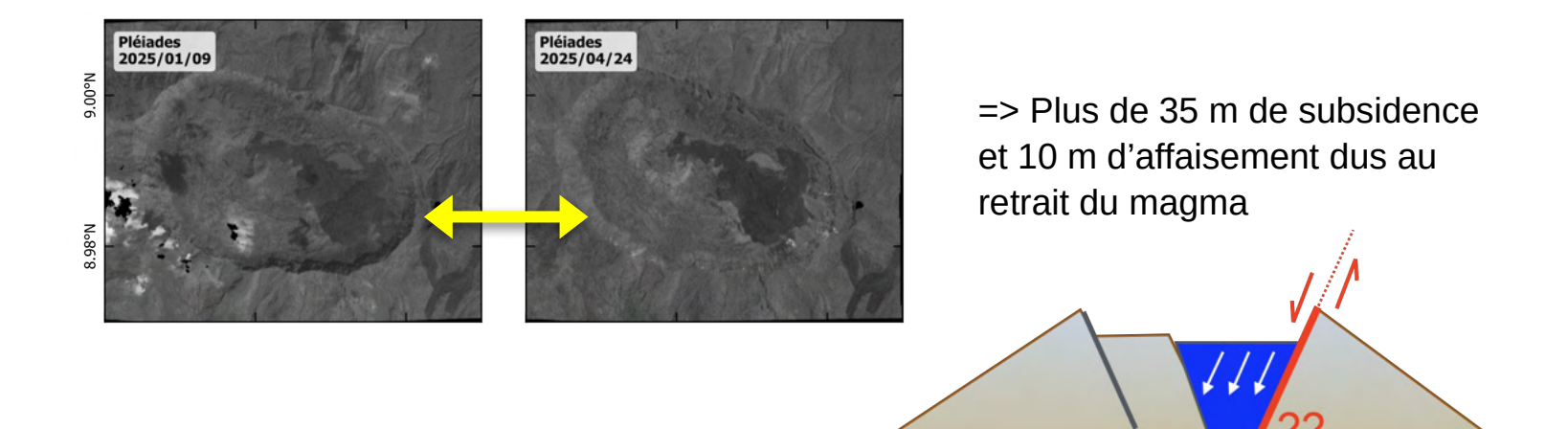


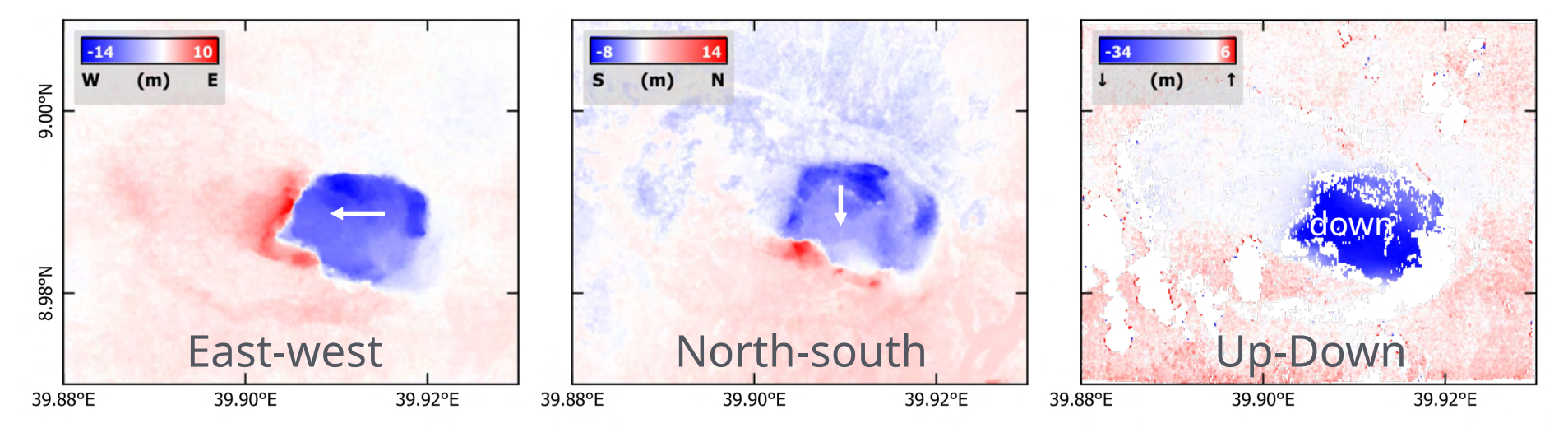


Le volcan Fentale, Éthiopie, 2025

Effondrement de la caldéra (déplacement 3D Pléiades-Pléiades)

- Deux acquisitions
 Pléiades : 9 jan. et 24 avr. 2025
- Corrélation sub-pixel
- Différence de MNS





Horizontal

Vertical

Conclusion

- Les images THR permettent la quantification des modes de déformation de la surface lors de séismes : déformations localisée, distribuée, diffuse
- Les dispositifs d'accès aux données (DINAMIS, CIEST², ...) facilitent grandement l'étude des crises sismiques et volcaniques
- Mais la réactivité est un facteur crucial :
 - Volcans:
 - Évolution potentiellement rapide, besoin d'acquérir dans des délais très courts et de façon répétée
 - Nécessité de saisir les (rares) fenêtres météo sans nuages / fumeroles
 - Séismes :
 - Non-prévisibles, acquisition ponctuelle (post), mais potentiellement sur de grandes surfaces
 - Délais d'acquisition (météo, gestion des priorités entre les demandes de programmation) peuvent être défavorables à l'étude : décorrélation, disparition des marqueurs de la déformation
- La combinaison de différents capteurs (par ex. SPOT Pléiades) est souvent la clef quand on regarde l'archive stéréo (SPOT : fauchée = 60 km)
- La retraite annoncée de SPOT et Pléiades va réduire drastiquement l'accès à la THR
 ⇒ Pléiades Neo (Airbus), CO3D (CNES Airbus)